

I-24 周辺が円筒殻又は円環によって弾性固定されている円板の対称曲げについて

建設省土木研究所 正員

○栗林栄一

別府 精

" 杉山章雄

周辺が円筒殻又は円環によって弾性固定されている図-1のような円板に等分布荷重が作用した場合の対称曲げの計算式を、図-2および3のような簡単な仮定のもとに導いた。

円板の曲げの微分方程式

$$D_0 \left(\frac{\partial^2}{\partial r^2} + \frac{1}{r} \frac{\partial}{\partial r} \right)^2 w = q, f(r), \quad D_0 = \frac{E_0 h^3}{12(1-\nu^2)} \quad \dots \dots (1)$$

周辺条件は二ヶ必要とする。円筒殻ならば円環の場合に対しては(2)式および(3)式より得られる M_0 , Q_0 がそれぞれ二ヶの条件式となる。

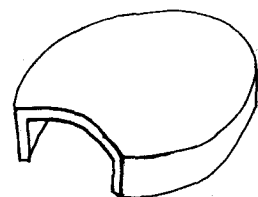


図-1

$$\frac{d^4 y}{dx^4} + \beta^4 y = \frac{Z}{D}, \quad Z=0$$

$$\text{但し, } D = \frac{E t^3}{12(1-\nu^2)},$$

$$\beta^4 = \frac{3(1-\nu^2)}{a^2 t^2}$$

$$\text{但し } x=0^\circ$$

$$-D(d^2y/dx^2)=M_0,$$

$$-D(d^3y/dx^3)=Q_0.$$

$$x=L^\circ$$

$$-D(d^2y/dx^2)=0$$

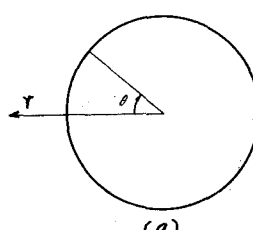
$$-D(d^3y/dx^3)=0$$

$$\frac{M}{EI} ad\theta + \varphi d\theta = 0$$

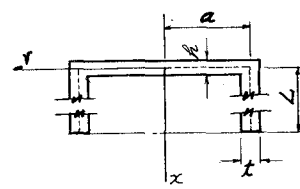
$$\left(\frac{1-\nu^2}{N} + \frac{a^2}{EA} \right) Q_0 = \frac{\varphi H}{2}$$

$$M = \int_0^\pi M_0 \sin \theta r d\theta = M_0 a$$

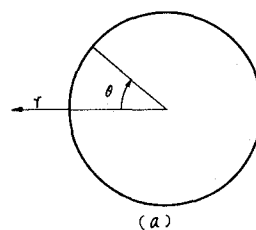
$$N = \frac{E_0 h}{(1-\nu^2)}$$



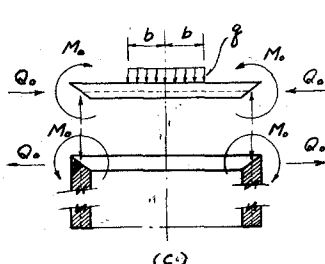
(a)



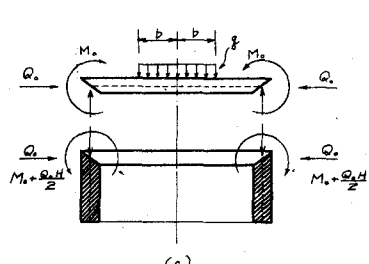
(b)



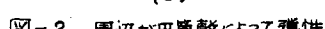
(c)



(a)



(b)



(c)

以上3式より得られた計算結果をまとめるとつきのようになる。

図-2. 周辺が円筒殻によって弾性固定されている円板
図-3. 周辺が円環に弾性固定されている円板

1) 円筒殻と弾性固定されている場合の円板の周辺条件

$$M_0 = \frac{1}{(1-\nu_0)\alpha+1} \cdot \frac{8b^2}{4} \left(\frac{1}{2} - \frac{b^2}{\alpha^2} - 1 \right), \quad Q_0 = M' = \beta M_0 \quad \dots \dots \dots (4)$$

但し、
 $\mu = \{U_1 + U_2 - U_3 + U_4 + (v_1 + v_2 - v_3 + v_4) \cdot \mu'\} / 2\alpha\beta D$
 $\mu' = -(U_1 + U_3) / \beta \{v_1 + v_3 - 2(1-\nu) \alpha / N\}$

$$U_1 = -\{(-\cos K + \sin K)^2 - 2\cos^2 K + (\sin K - \cos K)^2\} \quad v_1 = -\{(\sin K - \cos K)^2 - (\sin K - \cos K)^2\}$$

$$U_2 = -\{(-\cos K + \sin K)^2 - 2\sin^2 K + (\sin K - \cos K)^2\} \quad v_2 = -\{-2\sin^2 K\}$$

$$U_3 = -\{(\cos K + \sin K)^2 - 2\cos^2 K + (\sin K + \cos K)^2\} \quad v_3 = -\{(\cos K + \sin K)^2 + (\sin K + \cos K)^2\}$$

$$U_4 = -\{(\cos K - \sin K)^2 + 2\sin^2 K - (\sin K + \cos K)^2\} \quad v_4 = -\{-2\cos K \sin K\}$$

$$D = 4(\sin^2 K - \cos^2 K) \quad K = \beta L$$

ii) 円環と弾性固定されてる場合の円板の周辺条件

$$M_0 = \frac{1}{(1-\nu_0)\alpha+1} \cdot \frac{8b^2}{4} \left(\frac{1}{2} - \frac{b^2}{\alpha^2} - 1 \right), \quad Q_0 = \alpha' \frac{M_0}{b} \quad \dots \dots \dots (5)$$

但し、
 $\alpha = \frac{D}{EI + \left(\frac{H}{2}\right)^2 \frac{1}{(1-\nu_0)\frac{1}{N} + \frac{\alpha}{AE}}}, \quad \alpha' = -\frac{Hb}{2a} \frac{1}{(1-\nu) \frac{1}{N} + \frac{\alpha}{EA}}$
 $A = BH, \quad I = \frac{BH^3}{72},$

したがって円板に生ずる曲げモーメントはつきのようになる。

$b \leq r \leq a$ では

半径方向	$M_r = \frac{8b^2}{4} \left\{ (1+\nu_0) \log \frac{a}{b} + 1 - \frac{(1-\nu_0)b^2}{4a^2} - \frac{(3+2\nu_0)r^2}{4b^2} \right\} + M_0$	$\dots \dots \dots (6)$
接線方向	$M_\theta = \frac{8b^2}{4} \left\{ (1+\nu_0) \log \frac{a}{b} + 1 - \frac{(1-\nu_0)b^2}{4a^2} - \frac{(3\nu_0+1)r^2}{4b^2} \right\} + M_0$	

$b \leq r \leq a$ では

半径方向	$M_r' = -\frac{8b^2}{4} \left\{ (1+\nu_0) \log \frac{a}{r} + \frac{(1-\nu_0)b^2}{4} \left(\frac{1}{r^2} - \frac{1}{a^2} \right) \right\} + M_0$	$\dots \dots \dots (7)$
接線方向	$M_\theta' = \frac{8b^2}{4} \left\{ (1+\nu_0) \log \frac{a}{r} - \frac{(1-\nu_0)b^2}{4} \left(\frac{1}{r^2} + \frac{1}{a^2} - 1 \right) \right\} + M_0$	

図-4.は若干の計算例と実験値を比較したものである。

参考文献

- 倉西正嗣著 弾性学
 および応用弾性学
 Biegeli u. Grammel;
 Technische Dynamik
 S. Timoshenko;
 Theory of Plates

and Shells

機械学会;

機械工学便覧 (昭和12年版)

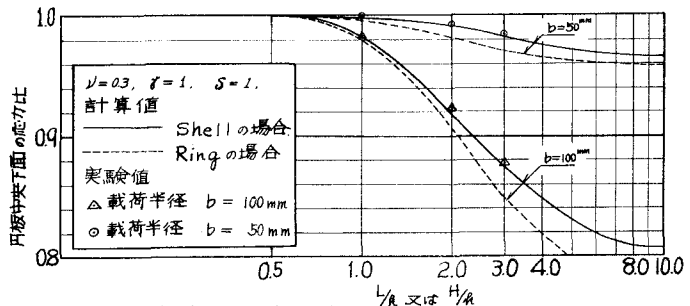


図-4. 計算例と実験値の比較。

注 $r = \frac{E}{G}, \quad s = \frac{t}{R}, \quad x = \frac{B}{R}, \quad a = 158 \text{ mm}, \quad R = 8 \text{ m/m}$